

Front Light

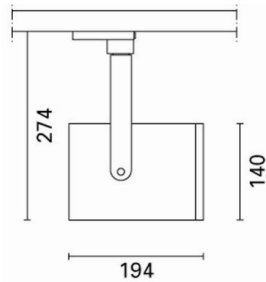
Design iGuzzini

iGuzzini

Letzte Aktualisierung der Informationen: Februar 2023

Produktkonfiguration: MD48+L061

MD48: Strahler - Großer Korpus - 70W HIT-CE - Elektronische Versorgungseinheit - Wide Flood - Optik



Produktcode

MD48: Strahler - Großer Korpus - 70W HIT-CE - Elektronische Versorgungseinheit - Wide Flood - Optik **Warnung! Code eingestellt**

Beschreibung

Schwenkbarer Strahler für Innenbeleuchtungssysteme mit Adapter für die Installation auf Stromschiene mit Netzspannung. Leuchtkörper aus Aluminiumdruckguss. 360°-Drehung um die vertikale Achse dank doppelter Schwenkbarkeit des Strahlers und horizontale Neigung um 90°. Mechanische Blockiervorrichtung für die Drehung um die vertikale Achse und die horizontale Neigung. Integrierte elektronische Versorgungseinheit. Außerdem können externe Zuberhörteile angebracht werden, z.B. um 360° drehbare und vollständig verschließbare Blendschutzklappen. Die Leuchte ist mit Wide Flood-Optik 70W HIT G12 ausgestattet. IP 40 auf Leuchtgehäuse.

Installation

An elektrische Stromschiene.

Farben

Weiß (01) | Schwarz (04) | Grau/Schwarz (74)

Montage

Dreiphasenstromschiensystem

Verkabelung

Integriertes Komponentengehäuse mit den elektronischen Bauteilen für die Entladungslampe

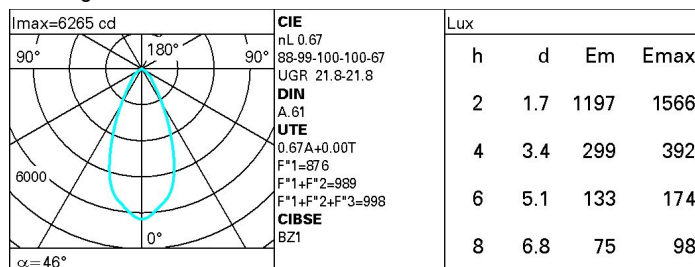
Gemäß der Normen EN60598-1 u. Sondernormen



Technische Daten

| | | | |
|---|--------|---------------------------------|--------|
| Im System: | 4432.6 | CRI: | 92 |
| W System: | 78 | Farbtemperatur [K]: | 4200 |
| Im Lichtquelle: | 6600 | Verlustleistung | 8 |
| W Lichtquelle: | 70 | Versorgungseinheit [W]: | |
| Lichtausbeute (lm/W, Systemwert): | 56.8 | Eingangsspannung [V]: | 230 |
| Im im Nichtlichtbetrieb: | - | Lampencode: | L061 |
| abgegebener Lichtstrom bei/ über einem Winkel von 90° [lm]: | 0 | Fassungstyp: | G12 |
| Leuchtenbetriebswirkungsgrad 67 (L.O.R.) [%]: | | Anzahl Lampen in Leuchtgehäuse: | 1 |
| Abstrahlwinkel [°]: | 46° | ZVEI-Code: | HIT-CE |
| | | Anzahl Leuchtgehäuse: | 1 |

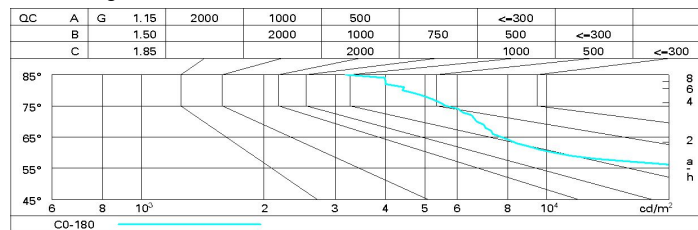
Polardiagramm



Wirkungsgrad

| | | | | | | | | | |
|------|----|----|----|----|----|----|----|----|-----|
| R | 77 | 75 | 73 | 71 | 55 | 53 | 33 | 00 | DRR |
| K0.8 | 57 | 53 | 50 | 48 | 52 | 50 | 49 | 46 | 69 |
| 1.0 | 60 | 56 | 54 | 52 | 56 | 53 | 53 | 50 | 75 |
| 1.5 | 64 | 62 | 59 | 58 | 61 | 59 | 58 | 56 | 83 |
| 2.0 | 67 | 65 | 63 | 62 | 64 | 62 | 62 | 59 | 88 |
| 2.5 | 68 | 67 | 65 | 64 | 66 | 65 | 64 | 62 | 92 |
| 3.0 | 69 | 68 | 67 | 66 | 67 | 66 | 65 | 63 | 94 |
| 4.0 | 70 | 69 | 69 | 68 | 68 | 68 | 66 | 65 | 96 |
| 5.0 | 71 | 70 | 69 | 69 | 69 | 68 | 67 | 65 | 97 |

Söllner-Diagramm



UGR-Diagramm

| | | | | | | | | | | |
|---|------|------|------|-----------|------|------|------|------|---------|------|
| Corrected UGR values (at 0000 lm bare lamp luminous flux) | | | | | | | | | | |
| Reflect.: | | | | | | | | | | |
| ceiling | | 0.70 | 0.70 | 0.50 | 0.50 | 0.30 | 0.70 | 0.70 | 0.50 | 0.50 |
| walls | | 0.50 | 0.30 | 0.50 | 0.30 | 0.30 | 0.50 | 0.30 | 0.50 | 0.30 |
| work pl. | | 0.20 | 0.20 | 0.20 | 0.20 | 0.20 | 0.20 | 0.20 | 0.20 | 0.20 |
| Room dim | | | | | | | | | | |
| x | y | | | viewed | | | | | viewed | |
| | | | | crosswise | | | | | endwise | |
| 2H | 2H | 22.2 | 22.9 | 22.5 | 23.1 | 23.4 | 22.2 | 22.9 | 22.5 | 23.1 |
| | 3H | 22.1 | 22.7 | 22.4 | 23.0 | 23.3 | 22.1 | 22.7 | 22.4 | 23.0 |
| | 4H | 22.1 | 22.6 | 22.4 | 22.9 | 23.2 | 22.0 | 22.6 | 22.4 | 22.9 |
| | 6H | 22.0 | 22.5 | 22.4 | 22.8 | 23.2 | 22.0 | 22.5 | 22.3 | 22.8 |
| | 8H | 22.0 | 22.5 | 22.3 | 22.8 | 23.2 | 21.9 | 22.4 | 22.3 | 22.8 |
| | 12H | 21.9 | 22.4 | 22.3 | 22.8 | 23.1 | 21.9 | 22.4 | 22.3 | 22.7 |
| 4H | 2H | 22.0 | 22.6 | 22.4 | 22.9 | 23.2 | 22.1 | 22.6 | 22.4 | 22.9 |
| | 3H | 22.0 | 22.5 | 22.4 | 22.8 | 23.2 | 22.0 | 22.5 | 22.4 | 22.8 |
| | 4H | 21.9 | 22.4 | 22.3 | 22.7 | 23.1 | 21.9 | 22.4 | 22.3 | 22.7 |
| | 6H | 21.9 | 22.3 | 22.3 | 22.7 | 23.1 | 21.9 | 22.2 | 22.3 | 22.6 |
| | 8H | 21.8 | 22.2 | 22.3 | 22.6 | 23.0 | 21.8 | 22.2 | 22.3 | 22.6 |
| | 12H | 21.8 | 22.1 | 22.3 | 22.6 | 23.0 | 21.8 | 22.1 | 22.2 | 22.5 |
| 8H | 4H | 21.8 | 22.2 | 22.3 | 22.6 | 23.0 | 21.8 | 22.2 | 22.3 | 22.6 |
| | 6H | 21.8 | 22.1 | 22.3 | 22.5 | 23.0 | 21.8 | 22.1 | 22.3 | 22.5 |
| | 8H | 21.7 | 22.0 | 22.2 | 22.5 | 23.0 | 21.7 | 22.0 | 22.2 | 22.5 |
| | 12H | 21.7 | 21.9 | 22.2 | 22.4 | 22.9 | 21.7 | 21.9 | 22.2 | 22.4 |
| 12H | 4H | 21.8 | 22.1 | 22.2 | 22.5 | 23.0 | 21.8 | 22.1 | 22.3 | 22.6 |
| | 6H | 21.7 | 22.0 | 22.2 | 22.4 | 22.9 | 21.7 | 22.0 | 22.2 | 22.5 |
| | 8H | 21.7 | 21.9 | 22.2 | 22.4 | 22.9 | 21.7 | 21.9 | 22.2 | 22.4 |
| Variations with the observer position at spacing: | | | | | | | | | | |
| S = | 1.0H | | 1.8 | / | -4.3 | | | 1.8 | / | -4.3 |
| | 1.5H | | 3.9 | / | -7.9 | | | 3.9 | / | -7.9 |
| | 2.0H | | 5.8 | / | -8.5 | | | 5.8 | / | -8.5 |